

AMASRA YÖRESİNDEKİ (ZONGULDAK HAVZASI) KARBONİFER YAŞLI KILTAŞLARININ ANA KAYA ÖZELLİKLERİ

SOURCE ROCK CHARACTERISTICS OF THE CARBONIFEROUS CLAYSTONES IN THE AMASRA AREA (ZONGULDAK BASIN)

Sultan ÖZGÖKÇE ve M. Namık YALÇIN

İstanbul Üniversitesi, Mühendislik Fakültesi, Jeoloji Mühendisliği Bölümü
TR-34850 Avcılar-İSTANBUL

ÖZ: Bu çalışma, Amasra yöresinde (Zonguldak) yer alan Karbonifer yaşı kilaşlarının ana kaya potansiyelini belirlemek amacıyla gerçekleştirilmiştir. Bu amaçla Amasra güneyinde açılmış AK-10, AK-11 ve AK-14 nolu sondaj kuyularında kesilmiş Karbonifer yaşı Kozlu ve Karadon formasyonlarından toplam 27 adet kilaş örnekى değerlendirilmiştir. Örnekler, çalışmanın amacı doğrultusunda organik jeokimyasal (toplam organik karbon analizi (TOC), Rock-Eval piroliz, değişken sıcaklık açık sistem piroliz) ve organik petrografik yöntemlerle incelenmiştir.

Kilaşlarının toplam organik karbon içeriği % 0.3-31.2 arasında değişmektedir. Örneklerin büyük çoğunluğu, gaz oluşturmaya elverişli Tip III kerojen içermektedir. Olgunlaşma derecesi ise, 428-488 °C Tmax değerleri arasındadır. Çalışma kapsamında ayrıca, Karbonifer istifindeki kilaşlarının toplam hidrokarbon (petrol+gaz) oluşturma potansiyeli kantitatif olarak saptanmıştır. Seçilen iki farklı örnek için sırasıyla, gram TOC başına 99,6 mg ve 188,8 mg hidrokarbon (HC) oluşturma potansiyeli söz konusudur. Ancak, analiz için seçilen örneklerin, kinetik analiz için öngörülen ölçüde düşük bir olgunluğa sahip olmamaları nedeniyle, elde edilen 99,6 ve 188,8 mg HC/g TOC hidrokarbon oluşum potansiyelleri ve ilgili aktivasyon enerjisi dağılımlarının temsilci olmadığı sonucuna varılmıştır. Gerçek potansiyelin daha yüksek olması gerekmektedir.

Anahtar sözcükler: Zonguldak havzası, Amasra, Karbonifer, ana kaya,

ABSTRACT: In this study, the source rock potential of the Carboniferous claystones in the Amasra area (Zonguldak Basin) was investigated. Twenty-seven samples originate from the AK-10, AK-11 and AK-14 wells drilled in the south of Amasra town. Samples were collected from Carboniferous claystone horizons in the Kozlu and Karadon formations encountered in each well. These samples were analysed by different organic geochemical (total organic carbon (TOC), Rock-Eval pyrolysis; open system non-isothermal pyrolysis) and by organic petrographic methods considering the aim of the study.

The TOC values range between 0.17 and 31.2 %. Most of the samples contain Type III organic matter. Maturity of the samples expressed in Tmax varies from 428 to 488 °C. In this study, the hydrocarbon (HC) generation potential has also been determined quantitatively for two claystone samples. Results indicated a bulk HC-generation potential of 99.6 mg HC / g TOC and 188.8 mg HC / g TOC. Relatively high maturity of the samples resulted in a shift towards higher activation energies (e.g. higher temperatures). Therefore, the obtained HC-generation potential values of 99.6 and 188.8 mg HC / g TOC and the respective activation energy distributions can not be considered as fully representative. Actual HC-generation potential has to be higher.

Key words: Zonguldak basin, Amasra, Carboniferous, source rock

GİRİŞ

Kuzeybatı Anadolu bölgesinde, Zonguldak Taşkömürü Havzasında yeralan Karbonifer yaşı ve bir delta ortamında çökelmiş kömür ve kilitşaları, bölgedeki olası bir potansiyele sahip ana kayaları temsil etmektedirler. Kömürlerin ana kaya özelliklerinin daha önce araştırılmış olmasına karşın (Yalçın, 1994; 1995; Mann vd., 1995), kilitşalarının ana kaya potansiyeli henüz ayrıntılı olarak incelenmemiştir.

Bu çalışma kapsamında, olası ana kaya olarak düşünülen Vestfaliyen yaşı Kozlu ve Karadon formasyonlarındaki kilitşalarının ana kaya özellikleri ve hidrokarbon oluşturma potansiyeli araştırılmıştır. Çalışmada, Amasra bölgesinde açılmış üç kuyudan (AK-10, AK-11 ve AK-14) toplam 27 adet kilitçi karot numunesi derlenmiştir (Şekil 1). Bu örnekler üzerinde ana kaya özelliklerini belirlemeye kullanılan standart organik jeokimyasal ve organik petrografik analizler yapılmıştır. Bu amaçla, ana kaya karakterizasyonunda baz alınan 3 temel parametreye, organik madde miktarı, organik madde tipi ve organik madde olgunluğuna ait verileri elde etmek üzere TOC ölçümü (Jarvie, 1991), Rock-Eval piroliz (Espitalié vd., 1977), organik petrografi (Stach vd., 1982) ve hidrokarbon potansiyelini değerlendirmek için de izotermal olmayan açık sistem piroliz yöntemlerinden (Burnham vd., 1987, Schaefer vd., 1990) yararlanılmıştır (Çizelge 1).

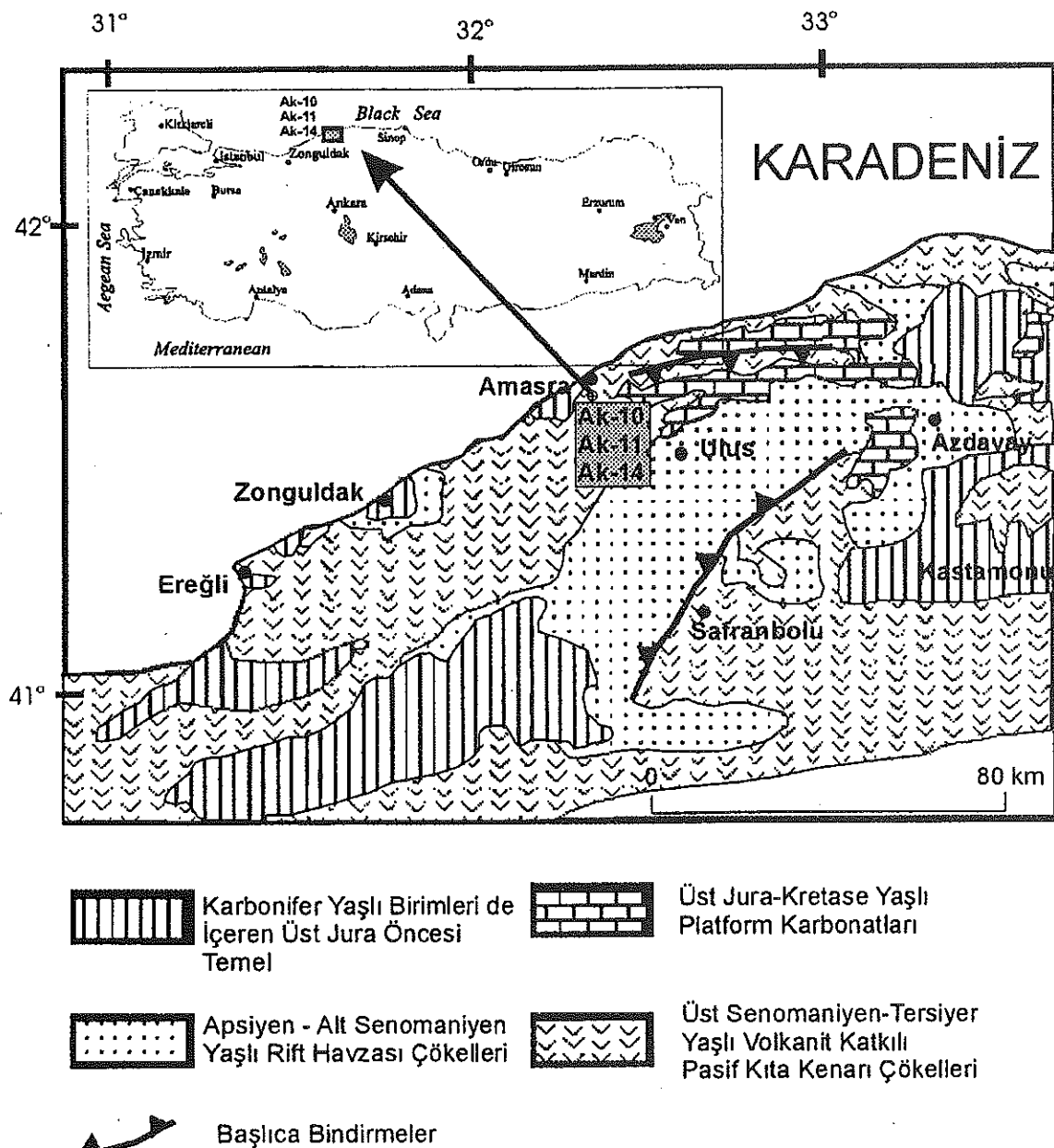
JEOLOJİ

Zonguldak Havzasındaki çalışma alanı İstanbul Zonu olarak da adlandırılan (Okay ve diğ., 1994) Hersiniyen yaşı bir kıta parçası üzerinde yeralmaktadır. Havza içinde Paleozoyik, Mesozoyik, Tersiyer ve Kuvaterner yaşı çökel birimleri bulunmaktadır. Birimler, İnan vd. (2000) tarafından Karbonifer yaşı birimleri de içeren Üst Jura Öncesi Temel, Üst Jura-Kretase yaşı platform karbonatları, Apsiyen-Alt Senomaniyen yaşı rift havzası çökelleri ve Üst Senomaniyen-Tersiyer yaşı, volkanit katkıları pasif kıta kenarı çökelleri olarak dört grupta toplamışlardır (Şekil 1). Amasra yöresinde mostra veren stratigrafik istif yaşıdan gence doğru Yılanlı, Alacaağzı, Kozlu ve Karadon (Paleozoyik), Zonguldak, Kilimli, Cemaller, Başköy, Dinlence, İlkse, Kazpinar-Alaplı (Mesozoyik) formasyonlarıyla temsil edilmektedir (Şekil 2).

Yılanlı formasyonu üzerinde yeralan kömürü birimler denizel ortamdan karasal ortama geçiş temsil eden delta ve akarsu ortamı çökellerinden oluşmaktadır. Bu birimler : 1) kumtaşı, silttaş, kilittaş ve kömür ardalanmalı Namuriyen yaşı Alacaağzı formasyonu 2) konglomera, kumtaşı, silttaş, kilittaş ve kömür ardalanmalı Vestfaliyen A yaşı Kozlu formasyonu 3) konglomera, kumtaşı, silttaş, kilittaş ve kömür ardalanmalı Vestfaliyen BC yaşı Karadon formasyonu ile temsil edilmektedir. Karbonifer yaşı bu üç formasyon (Alacaağzı, Kozlu, Karadon) birbirleriyle uyumlu bir ilişki sunarlar. Çalışmada değerlendirilen sondaj kuyularında (AK-10, AK-11, AK-14) Alacaağzı formasyonuna ulaşılmadığından, kömürü birimleri temsilen Kozlu ve Karadon formasyonları incelenmiştir. Aşağıda bu iki birim ayrıntılı olarak tanıtılmıştır.

KOZLU FORMASYONU

Kozlu formasyonunda istif, genellikle tabanları aşındırmalı, büyük ölçekli çapraz tabaklı çakıltalarıyla başlayıp çakılı kumtaşı, kumtaşı ile devam eden ve kilitçi-kömür ardalanması ile sona eren akarsu devreleri şeklinde izlenir (Oktay, 1995). Çakıltası ve genellikle kaba ve orta taneli kumtaşı egemen litolojilerdir. Tabaka kalınlıkları ince tabaka ile kalın tabaka arasında değişkendir. Birim içinde üretilenlikte, toplam kalınlığı 30 m. ye ulaşan yaklaşık 28 adet kömür damarı bulunmaktadır (Orhan, 1995). Vestfaliyen A yaşı Kozlu formasyonunun tabanı Alacaağzı formasyonu ile dereceli geçişlidir. Alacaağzı formasyonu ile Kozlu formasyonu sınırı yaklaşık 0.5-4 m. kalınlığında ve kılavuz katman niteliğindeki bir kuvarsit seviyesi ile tanımlanır. Formasyonun üst dokanağı ise Kozlu formasyonun devamı olarak kabul edilen Karadon formasyonu ile uyumludur. AK-14 sondajına ait palinolojik verilere göre birimin yaşı Vestfaliyen A' dir (MTA, 1999). Oktay (1995)'a göre birim, bölgede Namuriyen'den itibaren gelişen bir delta ortamında çökelmiştir. Birim, yukarı delta düzüğünde sığ fakat indirgeyici koşullara sahip, kısmen bataklıklar şeklindeki geçici göl alanlarında kırıntılı malzemenin hızlı depolanmasıyla, gölün bir süre için örgülü akarsu çökelim alanı haline dönüştüğü bir ortamda çökelmiştir. Ayrıca kanal göçmeleriyle menderesli akarsu göl devreleri şeklinde de bir çökelme söz konusudur. Bu istif, tabandan tavana doğru tane boyu küçütlerek zaman içinde tekrarlanır.



Şekil 1. Amasra yoresinin basitleştirilmiş jeoloji haritası ve örneklerin derlendiği kuyuların lokasyon haritası (Inan vd., 2000' den değiştirilerek).

Figure 1. Simplified geological map of the Amasra region and location of the bore-holes, where the samples are taken from (modified from Inan et al., 2000).

Çizelge-1 Organik jeokimyasal ve organik petrografik analiz sonuçları
Table-1 Results of organic geochemical and organic petrographic analyses

| Kuyu Adı | Örnek Sayısı | Örnek No | Derinlik (m) | Organik Jeokimyasal Analizler | | | | | | Organik Petrografik Analizi (%) |
|----------|--------------|----------|--------------|-------------------------------|-----|----------------------|-----------|---|-----------------------|---------------------------------|
| | | | | TOC (%) | HI | Rock-Eval Pyrolyz OI | Tmax (°C) | Izotermal Olmayan Açık Sistem Piroliz (%) | HCl Ptot (mgHCl/gTOC) | |
| AK-10 | 9 | 1 | 443.60 | 0.30 | 20* | 462* | 327* | | | - |
| | | 2 | 580.65 | 0.80 | 52 | 12 | 440 | | | 0.88 |
| | | 3 | 690.20 | 1.82 | 63 | 4 | 437 | | | 0.83 |
| | | 4 | 762.50 | 0.90 | 30 | 9 | 488 | | | 0.92 |
| | | 5 | 786.60 | 0.30 | 34* | 29* | 455* | | | - |
| | | 6 | 828.15 | 1.10 | 40 | 10 | 485 | | | 0.93 |
| | | 7 | 888.60 | 1.56 | 87 | 21 | 439 | 99.60 | 188.80 | 0.79 |
| AK-11 | 7 | 8 | 937.30 | 7.03 | 207 | 6 | 428 | | | 0.88 |
| | | 9 | 959.40 | 0.80 | 63 | 3 | 435 | | | 0.88 |
| | | 10 | 596.50 | 1.40 | 40 | 15 | 461 | | | 1.00 |
| | | 11 | 667.65 | 1.13 | 59 | 7 | 443 | | | 0.76 |
| | | 12 | 723.60 | 2.20 | 75 | 19 | 429 | | | 0.78 |
| | | 13 | 752.10 | 0.20 | 26* | 40* | 394* | | | - |
| | | 14 | 832.60 | 0.20 | 62* | 14* | 505* | | | - |
| AK-14 | 11 | 15 | 892.15 | 1.60 | 115 | 13 | 429 | | | 0.76 |
| | | 16 | 937.60 | 2.95 | 141 | 10 | 434 | | | 0.79 |
| | | 17 | 365.20 | 0.46 | 17* | 21* | 431* | | | 0.81 |
| | | 18 | 401.20 | 0.60 | 29 | 10 | 455 | | | 0.91 |
| | | 19 | 557.20 | 0.92 | 22 | 3 | 463 | | | 0.96 |
| | | 20 | 634.00 | 0.20 | 69* | 9* | 510* | | | 0.78 |
| | | 21 | 666.30 | 31.20 | 306 | 6 | 419 | | | 0.77 |
| | | 22 | 761.60 | 19.50 | 88 | 3 | 434 | | | 0.85 |
| | | 23 | 950.50 | 1.40 | 93 | 2 | 432 | | | 0.78 |
| | | 24 | 1038.96 | 1.40 | 96 | 37 | 430 | | | - |
| | | 25 | 1158.38 | 2.00 | 152 | 4 | 433 | | | 0.84 |
| | | 26 | 1401.60 | 1.40 | 70 | 8 | 441 | | | 0.78 |
| | | 27 | 1553.20 | 13.70 | 254 | 3 | 440 | | | 0.91 |

* Düşük toplam karbon miktarı nedeniyle Rock-Eval piroliz sonuçları güvenilir olmamayı ve bu nedenle değerlendirmelerde kullanılmış analiz sonuçları

KARADON FORMASYONU

Karadon formasyonu konglomera, kumtaşı, silttaşrı, kilitaşı ve kömür ardalanmasından oluşur. İstif içindeki kumtaşları kaba taneliden ince taneliye kadar değişen boyutlardadır. Litolojik özellikleri bakımından devamı olarak nitelendiği Kozlu formasyonundan gerek çakıltaşlarının daha sık gözlenmesi, gerekse egemen litolojinin daha kaba taneli olmasına ayırt edilir. Birimin tabanı Kozlu formasyonuna uyumludur. Ancak, Kretase'de gerçekleşmiş olan transgresyon sonucunda Kretase yaşı örtü birimleri tarafından uyumsuz olarak örtülmüşlerdir. MTA Genel Müdürlüğü (MTA, 1999) tarafından yapılan palinolojik analiz sonucunda birimin yaşı Vestfaliyen BC olarak belirlenmiştir. Karadon formasyonunda çakıltaşları ve kumtaşları bünyesinde yer alan teknemsi çapraz tabakalanma, paralel tabakalanma, paralel laminalanma, derecelenme ve boyanma türü sedimenter yapılar kanal dolgusu fasiyesini temsil eder. Çakıltaşı ve kumtaşları üzerinde yeralan silttaşrı ve kilitaşı seviyeleri ise sakin taşın ovası çökellerini karakterize eder. Litostratigrafik açıdan Kozlu formasyonuyla benzerlikler taşıyan Karadon formasyonu kısmen farklı bir çökelme ortamına sahiptir. Menderesli akarsu göl devreleri şeklinde gelişen çökelme ortamı, tektonik hareketlerin aniden artması ile kaba kııntıların çok miktarda ve hızlı olarak dağıtıci kanal aralarındaki geniş sıçrık ve bataklık türü göllere taşınması, çökelme ortamını çakılık örgülü akarsu koşullarına dönüştürmüştür. Tektonik aktivitenin etkinliğini yitirdiği ve ortama gelen kııntılı malzemenin azaldığı evrelerde, ortamda yeniden Kozlu formasyonunkine benzer çökelme koşulları egemen olmuştur (Oktay, 1995).

ANA KAYA POTANSİYELİNİN DEĞERLENDİRİLMESİ

Bir kayacın ana kaya özelliklerinin belirlenmesinde üç parametre esas alınmaktadır. Bunlar;

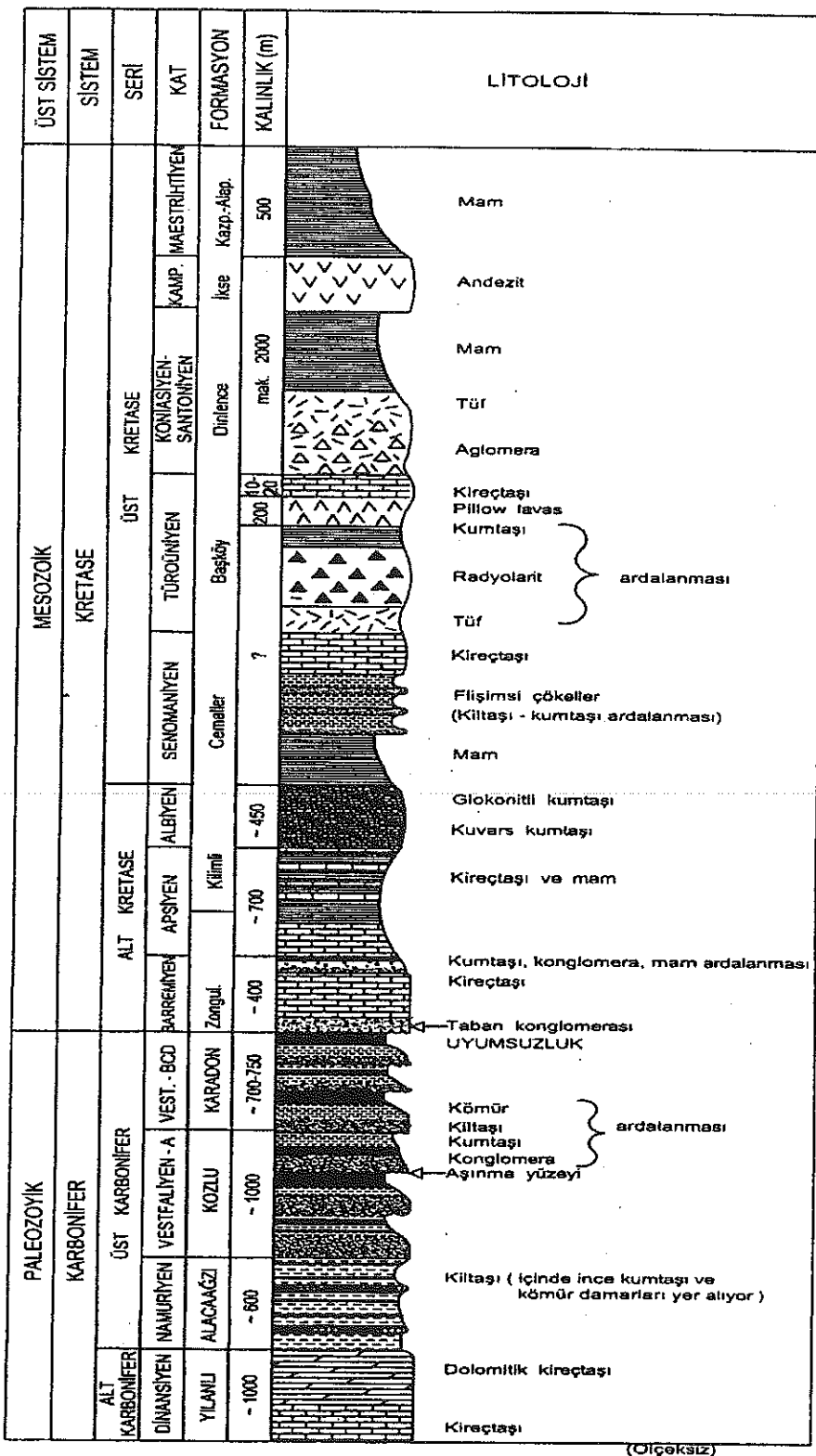
- organik madde miktarı,
- organik madde tipi ve
- organik maddenin olgunluğu. Ana kayaların ekonomik anlamda değerlendirilebilir miktarda hidrokarbon üretmeleri için belirli miktarda, uygun tipte ve yeterli olgunlukta organik madde içermeleri gerekmektedir (Espitalié ve dig., 1977; Tissot ve Welte, 1984).

ORGANİK MADDE MİKTARI (TOC)

Çökeller içerisindeki organik madde miktarı "Toplam Organik Karbon (TOC)" parametresi ile belirlenir. Bu çalışma kapsamında AK-10, AK-11 ve AK-14 no'lu kuyularla olası ana kaya seviyeleri olarak düşünülen Karadon ve Kozlu formasyonlarından derlenen 27 adet kilitaşı örneğindeki organik madde miktarı, bu birimlerdeki organik karbon yüzdesinin (%Corg) belirlenmesiyle saptanmıştır. Her bir kuyudan derlenen örnekler için ölçülen organik karbon miktarı % 0.17 ile % 31.2 arasında değişmektedir. Kuyulardaki tüm kilitaşı düzeyleri örneklenmediği için çok temsilci olmamakla birlikte, genel bir değerlendirme amacıyla, TOC değerlerinin ölçüldüğü kilitaşı seviyelerinin kalınlıkları gözetilerek ağırlıklı ortalamaya yöntemiyle istifin geneli için bir TOC değeri elde edilmeye çalışılmıştır. Buna göre, AK-10 kuyusu Karbonifer istifi kilitaşları % 4.74 TOC ile 'çok iyi', AK-11 kuyusu % 0.82 TOC ve AK-14 kuyusu % 0.68 TOC ile 'orta' kalitede ana kayalar içermektedir.

ORGANİK MADDE TİPİ

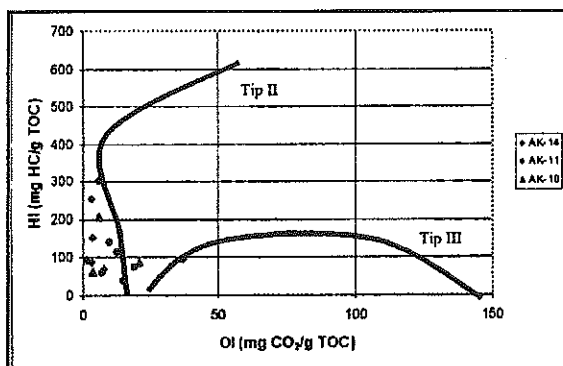
Ana kaya olma özelliklerinin belirlenmesinde kullanılan parametrelerden bir diğerini organik madde tipi oluşturur. Çünkü, her bir kerojen tipi (Tip I, Tip II, Tip III) miktar ve özellik bakımından farklı hidrokarbon ürünlerini oluşturma potansiyeline sahiptir (Tissot ve Welte, 1984). Bu nedenle organik madde (kerojen) tipinin belirlenmesi ana kaya karakterizasyonunda önemli bir parametredir. Bu çalışmada, organik madde tipinin belirlenmesinde esas olarak Rock-Eval piroliz yöntemi kullanılmıştır. Ayrıca, mikroskopik gözlemlerden de yararlanılmıştır. Piroliz analizi sonuçlarının yardımıyla çizilen Hidrojen İndeksi (HI) – Oksijen İndeksi (OI) diyagramına (Şekil 3) göre, AK-10, AK-11 ve AK-14 kuyusu örneklerinde küçük de olsa farklılıklar gözlenmektedir. Bu farklılık genel olarak AK-11 kuyusundaki örneklerin tümünün Tip III kerojeni temsil etmesine karşın, diğer kuyulardaki bazı örneklerin Tip II türü bir organik madde içermelerinden kaynaklanmaktadır. Tüm örnekler gözetildiğinde, olgunluğa bağlı sistematik bir HI azalması da söz konusu olmadığından, bu farklılıkların genellikle organik fasiyese ve organik maddenin farklı oranlarda korunmuş olmasına bağlı olarak ortaya çıktığı sonucuna varılmıştır. Ancak genel bir



Şekil 2. Zonguldak ve Amasra bölgelerinin genelleştirilmiş stratigrafi kesiti (Karayığit, 1989' den değiştirilerek).

Figure 2. Generalized stratigraphic section of Zonguldak and Amasra regions (modified from Karayigit, 1989).

değerlendirme yapıldığında, örneklerin büyük çoğunluğunun hidrojen içeriği bakımından fakir ve oksijence zengin, karasal kökenli organik madde içeren Tip III kerojene karşılık geldiği görülmektedir. Bu nedenle, söz konusu ana kayaların organik madde tipi açısından belirli bir doğal gaz potansiyeline sahip oldukları söylenebilir. Yapılan mikroskopik gözlemler de bu sonucu destekler nitelikte olup, egemen maseral grubunu vitrinit oluşturmaktadır. Vitrinit grubu maserallerini sırayla inertinit ve liptinit grubu maseraller izlemektedir.



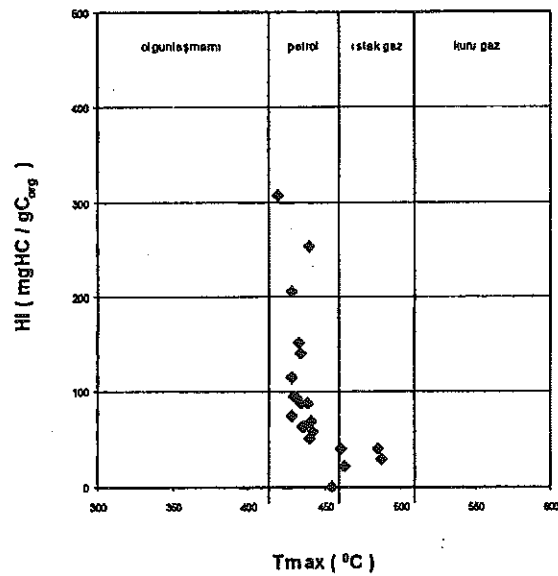
Şekil 3.Amasra bölgesindeki Karbonifer yaşı kiltaların değiştirilmiş van Krevelen diyagramı. (HI) Hidrojen İndeksi, (OI) Oksijen İndeksi

Figure 3. Modified van Krevelen diagram of the Carboniferous claystones in the Amasra region. (HI) Hydrogen index, (OI) Oxygen index

ORGANİK MADDE OLGUNLUĞU

Petrol ve gazın oluşumu, ana kayalar içinde yer alan organik maddenin zamana bağlı olarak artan sıcaklık nedeniyle ısisal bir evrim sürecinden geçmesiyle gerçekleşmektedir (Tissot ve Welte, 1984). Meydana gelen bu ısisal değişim "olgunluk" olarak tanımlanmaktadır. Bu çalışmada organik maddenin olgunluğu, Rock-Eval piroliz analizi sonucu elde edilen Tmax değerleri ve vitrinit yansımıması değerlerinin ölçülmeye saptanmıştır. Şekil 4 de sunulan HI-Tmax diyagramına göre, incelenen kilitaş örneklerinin tüm kuyularda petrol-ıslak gaz oluşumuna karşılık gelen bir olgunlaşma düzeyine sahip oldukları görülmektedir. Ölçülen vitrinit yansımıması değerleri % 0.76-1.00 R_o arasında değişmektedir (Çizelge 1). Tip III kerojenden oluşan organik maddenin % 0.6 R_o ya karşılık gelen bir olgunluk evresinde petrol oluşturmaya başladığı gözetilerek (Tissot ve Welte, 1984) incelenen ana

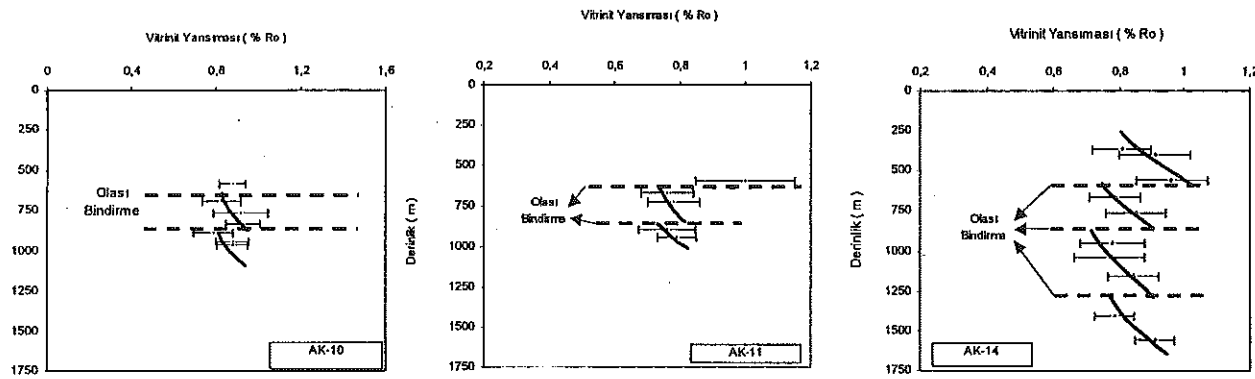
kaya seviyelerinin orta-ileri olgunlaşma derecesine karşılık geldiği sonucuna varılmıştır. Bu anlamda bu seviyeler petrol oluşumu evresinden ıslak gaz oluşumu evresine geçiş zonunda yer almaktadır. Çalışma kapsamında ayrıca, her bir kuyu için derinlik-vitrinit yansımıması ilişkisini gösteren diyagramlar oluşturulmuştur (Şekil 5). Diyagramlarda, beklenildiği gibi artan derinliğe karşı vitrinit yansımıması (% R_o) değerlerinde uyumlu bir artış meydana gelmediği görülmektedir.



Şekil 4. İnceleme örneklerinin Hidrojen İndeksi (HI) ve Tmax değerlerine göre bulundukları hidrokarbon oluşturma aşaması

Figure 4. Petroleum generation stage of the analysed samples according to Hydrogen Index (HI) and Tmax values.

Buna karşın, her üç kuyuda da bir kaç seviyede gradyan terslenmeleri bulunmaktadır. Bu tür terslenmelerin genellikle; a) Bindirme fayları b) Taşınmış organik madde etkisi c) Yetersiz veya hatalı ölçüm sonucu ortaya çıktıkları bilinmektedir (Senftle ve Landis, 1991). Bu olasılıklardan hangisinin söz konusu olduğu konusunda çok ayrıntılı bir değerlendirme, bu çalışmanın amaçları dışında olduğu için, yapılmamıştır. Ancak, ölçümler sırasında yeterli sayıda noktada ölçümün yapılamadığı veya taşınmış organik maddenin etkili olabileceğinin örneklerle karşılaşılmışsa da, coğulukla yapısal bir süreksizliğinin söz konusu olduğu düşünülmektedir.



Şekil 5. AK-10, AK-11 and AK-14 kuyularında vitrinit yansımı (% R_O) değerlerinin derinlikle olan değişimi.

Figure 5. Variation of vitrinite reflectance (% R_O) values with depth in AK-10, AK-11 and AK-14 wells.

Aynı bölgedeki Gegendere-1 kuyusunda da benzer bir olgunluk profili saptanmış ve bunun yapısal süreksizliklere bağlı geliştiği belirtilmiştir (İnan ve diğ., 2000). Bu ve bu çalışmada değerlendirilen kuyularda ezik zonların bulunusu (MTA, 1999) ve terslenmelerin gözleendiği derinliklerin kuyular arasında korele edilebilir oluşları (Şekil-5) testere dışı şeklindeki bu profillerin bindirmelere bağlı olarak gelişmiş oldukları savını güçlendirmektedir (Özgökçe ve Yalçın, 2001).

HİDROKARBON OLUŞTURMA POTANSİYELİ

Organik jeokimya alanındaki çalışmalar, hidrokarbonların (HC) ana kayalar içindeki kerojenden sıcaklık ve zamanın ortak etkisiyle denetlenen bir dizi kimyasal reaksiyon sonucu olduğunu göstermiştir (Tissot ve diğ., 1987). Ana kaya bünyesindeki organik maddeden meydana gelen bu dönüşüm (HC oluşumu) birinci dereceden bir kimyasal reaksiyona dayanan matematiksel bir model tarafından tanımlanabilmektedir (Tissot, 1969). Bu modele göre, hidrokarbon oluşum süreci Arhenius denklemiyle hesaplanabilen birinci dereceden birkinetik süreç olarak tanımlanır. Tissot'un kinetik modelinden sonra bu yaklaşımın doğruluğunu ve uygulanabilir nitelikte olduğunu destekleyen çok sayıda çalışma yapılmıştır (Tissot ve Espitalie, 1975; Jüntgen ve Klein, 1975; Ungerer, 1984). Tüm bu çalışmalarda, kerojenin petrole dönüşümü birbirine paralel bir dizi reaksiyon olarak ele alınmaktadır ve her bir reaksiyon aşağıda verilen differansiyel denklemin çözümüyle hesaplanabilmektedir.

$$\frac{dx_i}{dt} = k_i x_i \quad (1)$$

Her bir reaksiyon için denklem (1) deki k_i (reaksiyon hız sabiti) ve (2) deki Arhenius denklemi kullanılarak, oluşan petrol miktarı (3) de verilen bağıntıdan yararlanılarak hesaplanmaktadır.

$$k = Ae^{-E/RT} \quad (2)$$

$$Q = \sum_{i=1}^n (x_{io} - x_i) \quad (3)$$

Bu denklemlerde;

x_i = i reaksiyonuna ait geriye kalan HC oluşum potansiyeli

x_{io} = i reaksiyonuna ait toplam HC oluşum potansiyeli

k_i = i reaksiyonuna ait reaksiyon hız sabiti

A = i reaksiyonuna ait sıkılık (Arhenius) faktörü

E = aktivasyon enerjisi

R = gaz sabiti

T = mutlak sıcaklık (°K)

t = zaman

Q = oluşan toplam HC miktarı

n = reaksiyon (süreç) sayısı

(1), (2) ve (3) nolu denklemlerde de görüldüğü gibi HC oluşum potansiyelinin belirlenmesi, ilgili organik maddenin kinetik özellikleri (A , E , x_{io}) ve sıcaklık evriminin bilinmesi ile mümkündür.

Bu çalışmada, HC oluşumunu değerlendirmek üzere, kinetik özelliklerin belirlenmesi amacıyla, farklı olgunluk (% 0.79 ve % 0.88 R_O) değerine sahip iki kilitası örneği, izotermal olmayan, açık sistem piroliz

analizi ile beş ayrı ısınma hızı ($25, 15, 10, 5, 2^{\circ}\text{C/dak}$) kullanılarak değerlendirilmiştir. Örneklerin seçiminde düşük olgunluk ve HI açısından farklı olmalarına özen gösterilmiştir. Ancak, düşük olgunluk koşulu, örneklerin genellikle $\% 0.75 R_o$ dan daha olgun olmalarını nedeniyle, sağlanamamıştır. Deneysel olarak elde edilen sıcaklığı karşı HC oluşum hızı eğrileri (Şekil 6), Şekil 7 de verilen aktivasyon enerjisi dağılımı ve Arhenius sabiti kullanılarak, bu kez hesap yoluyla bulunan HC oluşum eğrileriyle karşılaştırıldığında, bunların arasında kabul edilebilir bir uyumun bulunduğu görülür (Şekil 6). Vitrinit yansımıası ölçüm sonuçlarına göre daha olgun olan Ak-10/8 nolu örneğe ait HC oluşum eğrilerindeki maksimumlara ait sıcaklık değerleri, daha az olgun Ak-10/7 nolu örnekle karşılaşırıldığında yaklaşık 10°C kadar daha düşüktür (Şekil 6). Bu durum, a) Ak-10/8 nolu örneğin daha az olgun oluşu veya b) Ak-10/8 nolu örneğin Tip II kerojence daha zengin oluşuyla açıklanabilir. T_{\max} değerleri (a) şıklarını, HI değerleri (b) şıklarını doğrulamaktadır. Aktivasyon enerjilerinin dağılımı ve Arhenius katsayıları (Şekil 7a,b) bu sorunu tümüyle aydınlatmak için yeterli olmaya da bazı ipuçları taşımaktadır.. Enerji dağılımı Ak-10/7 nolu örneğin daha az olgun olduğuna işaret etmektedir. Ak-10/8 nolu örneğin Arhenius katsayısının diğerinden yaklaşık 100 kat büyük olması da, piroliz sırasındaki hidrokarbon oluşumunun daha az olgun örneğe göre daha erken gerçekleşmesinin nedeni olmalıdır. Ancak, yukarıdaki tartışma bu tür bir analiz için seçilen örneklerin yeterince düşük olgunluğa sahip olmadıkları gerçekini değiştirmemektedir. Bunun sonucu olarak da diyagramlarda (Şekil 7 a,b), 50 kcal/mol den daha düşük aktivasyon enerjilerine karşılık gelen bir potansiyelin hemen hiç bulunmadığı görülmektedir. Bu fraksiyonlardaki potansiyelin petrol olarak açığa çıktığı ve petrol - gaz dönüşümü için gerekli sıcaklık değerinin 57 kcal/mol lük bir aktivasyon enerjisine karşılık geldiği gözetildiğinde (Yalçın ve diğ., 2002) söz konusu aktivasyon enerjisi dağılımlarının, Schenk ve Horsfield (1993) tarafından da belirtildiği gibi, daha çok petrol penceresinin alt kesimlerindeki bir ana kayanın potansiyelini temsil ettiği sonucuna varılabilir. Diğerine göre daha düşük olgunluğa ($\% 0.79 R_o$) sahip örneğe ait diyagramda (Şekil 7a), petrol-gaz oluşumu eşik değerinin 57 kcal/mol olduğu gözetildiğinde, petrol oluşumu penceresinin üst kesimlerine ait belirli bir potansiyelin bulunduğu

görülmektedir. Diğer örnek ($\% 0.88 R_o$) (Şekil 7b) için ise, bu anlamdaki petrol oluşumu potansiyeli tüketilmiştir. Elde edilen sonuçlara göre, Şekil 7a da ki örneğin 99.6 mg HC/g TOC veya $1.56 \text{ mg HC/g kaya}$ ve Şekil 7b. deki örneğin $188.8 \text{ mg HC/g TOC}$ veya $13.21 \text{ mg HC/g kaya}$ lik bir HC oluşturma potansiyeline sahip oldukları görülmektedir.

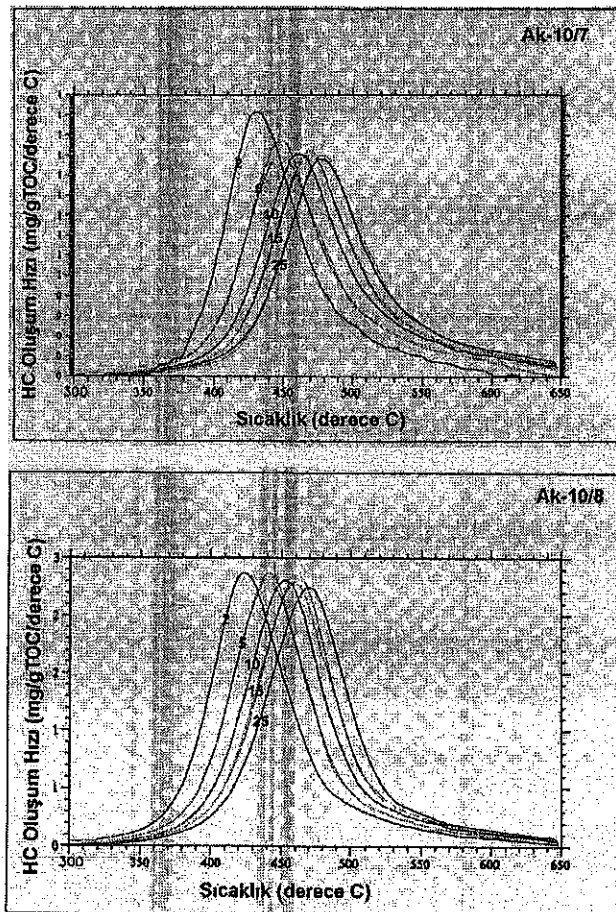
SONUÇLAR

Zonguldak Havzası Amasra yoresi Karbonifer yaşlı kilaşlarını araştırmada kullanılan AK-10, AK-11 ve AK-14 sondaj kuyularında kesilen Karbonifer istifinin kilaşları organik madde miktarı bakımından değerlendirildiğinde, orta ve çok iyi kalitede ana kayaları temsil etmektedir. Organik madde tipi gözetildiğinde, Karbonifer yaşlı kilaşlarının genellikle karasal kökenli organik maddeden (egemen olarak vitrinit grubu maseraller) oluşan Tip III kerojen içerdikleri, bu nedenle de daha çok gaz oluşturmaya elverişli oldukları belirlenmiştir. Kilaşlarının olgunlıklarını saptamak amacıyla yapılan piroliz analizi ve vitrinit yansımıası ölçüm sonuçları bunların genellikle petrol oluşumu aşamasında bulunduklarını, ancak derine doğru ıslak gaz oluşumu zonuna doğru bir geçişin bulunduğu göstermiştir. Organik jeokimyasal analiz sonuçları bir arada değerlendirildiğinde, gerekli olgunlaşma seviyesine ulaşmış bulunan Karbonifer istifinin orta-iyi kalitede bir gaz ana kayası özelliğine sahip olduğu sonucuna varılmıştır.

Kinetik özelliklerin araştırıldığı analizler sonucunda, seçilen örneklerin 99.6 mg HC/g TOC ve $188.8 \text{ mg HC/g TOC}$ 'lik bir HC oluşturma potansiyeline sahip oldukları görülmüştür. Bu potansiyele ait aktivasyon enerjileri dağılımlarının, incelenen örneklerin olgunlıklarının büyülüklüğü nedeniyle, sadece geriye kalmış yüksek değerlere ait potansiyeli yansıttığı ve bu nedenle gerek dağılımin ve gerekse saptanmış toplam potansiyel değerlerinin temsilci olmadıkları, gerçek potansiyelin saptanmış o lan 99.6 ve $188.8 \text{ mg HC/g TOC}$ luk değerlerden daha yüksek olması gereği belirlenmiştir.

KATKI BELİRTME

Şekillerin oluşturulması aşamasındaki katkıları için Dr. Hakan Hoşgörmez'e (İstanbul Üniversitesi) teşekkür borçluyuz.



Sekil 6. AK-10/7 (888.60 m) ve AK-10/8 (937.30 m) örnekleri için kinetik özelliklerin saptanması amacıyla beş farklı ısınma hızı ($25, 15, 10, 5, 2^{\circ}\text{C/dakika}$) kullanılarak yapılan piroliz sırasında açığa çıkan hidrokarbonların oluşum hızı ve piroliz sıcaklıklarının ilişkisi. Sürekli çizgiler deneysel sonuçlarını, noktalı çizgiler ise saptanan aktivasyon enerjisi dağılımı ve Arhenius faktörü kullanılarak yapılmış hesaplama sonuçlarını göstermektedir,

Figure 6. Hydrocarbon generation rate versus pyrolysis temperatures obtained by non-isothermal open system pyrolysis experiments, which are conducted to determine the kinetic properties. Continuous lines demonstrate the results of experiments, dotted lines indicate the results of computations which are carried out using the activation energy distribution and Arhenius factor of the samples AK-10/7 (888.60m) and AK-10/8 (937.30m)

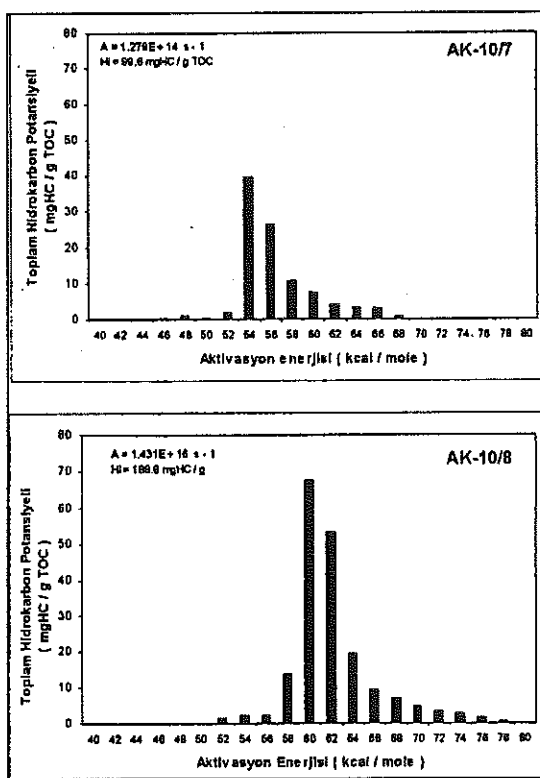
Bu çalışma İstanbul Üniversitesi Araştırma Fonu tarafından desteklenmiştir (Proje No. T-806/07032000 ve B-975/16052001). Katkıları için Araştırma Fonuna teşekkür ederiz. Prof. Dr. Sinan Öngen (İstanbul Üniversitesi) ve Doç. Dr. Sedat İnan (TÜBİTAK-MAM) makalenin anlaşılırlığına önemli katkılarında bulunmuşlardır. Olumlu eleştiri ve önerilerine teşekkür ederiz.

SUMMARY

Within the scope of this study the source rock potential of the Carboniferous aged claystones in Amasra area (Zonguldak Basin) has been investigated.

The Zonguldak Basin belongs to a Hercynian continental sliver, the so-called Istanbul Zone. The stratigraphic sequence of the basin consists of basement (Yılanlı formation), coal bearing units (Alacaağzı, Kozlu and Karadon formations) and sedimentary cover units (Zonguldak, Kilimli, Cemaller, Başköy, Dınlence, İkse, Kazpinar-Alaplı formations). Namurien aged Alacaağzı formation which represents transition from a marine to terrestrial environment lies conformably on the Yılanlı formation. The Alacaağzı formation comprises successive sandstone, siltstone, claystone, limestone and coal units. On the Alacaağzı formation the Westphalian A aged Kozlu formation was deposited conformably. These two units are distinguished by 0.5-4 meter thick quartzite level, which acts as a marker horizon. The Kozlu formation is superceeded by the Westphalian BC aged Karadon formation which is considered as a continuation of the Kozlu formation. The Karadon formation is generally represented by successive conglomerate, sandstone, mudstone and coal units which are products of a braided fluvial depositional systems. The cover units of the basin unconformably lie on the Carboniferous sequence.

In this study twenty-seven samples originate from the AK-10, AK-11 and AK-14 wells, which were drilled in the south of Amasra town. Samples were collected from Carboniferous claystones in the Kozlu and Karadon formations. Determination of the source rock potential is based on three parameters : 1) quantity of organic matter 2) type of organic matter 3) maturity of organic matter. These parameters



Şekil 7 a) AK-10 / 7 (888.60m) ve b) AK-10/8 (937.30m) örnekleri için toplam hidrokarbon oluşumunu tanımlayan reaksiyonların aktivasyon enerjisi dağılımı ve oluşabilecek toplam hidrokarbon miktarı.

Figure 7 Activation energy distribution and total HC generation potential of a) AK-10/7 (888.60m) and b) AK-10/8 (937.30m) samples.

have been assessed by using organic geochemical (TOC-analysis, Rock-Eval Pyrolysis, Open system non-isothermal pyrolysis) and organic petrographic analyses and methods.

To determine kerogen type and maturity, Rock-Eval pyrolysis has been utilized. Microscopic observations were also made. According to the HI versus OI diagram, the dominant type of organic matter is Type III kerogen. Tmax values of Rock-Eval pyrolysis have been used as maturity parameter. Tmax values of analysed samples range between 428 and 488 °C. The HI - Tmax diagram suggested, that the samples are placed in the transition zone of petroleum to wet gas generation.

Organic petrographic analyses indicated, that the dominant maseral group is vitrinite followed by inertinite and liptinite. That the dominant maseral

is vitrinite, supports the assessment of Type III kerogen indicated by the HI-OI diagram. The measured vitrinite reflectance values range between 0.76 % and 1.00 % R₀. This range suggests that the Carboniferous sequence is placed in a middle to high maturation level. However, maturity profiles in individual wells represent a so-called saw-tooth profile, which is probably formed by thrust faults. According to the organic geochemical properties the Carboniferous claystones can be classified as moderate to good gas-prone source rocks. The bulk hydrocarbon (HC) generation potential has been investigated by non-isothermal open-system pyrolysis of two samples (AK-10/888.60 and AK-10/937.30). Results indicated a potential of 99.60 and 188.80 miligram HCs per gram TOC, respectively. But, the actual HC-generation potential has to be higher than the determined values, since relatively immature samples were not available and since the analyzed samples were quite mature for such an analysis.

DEĞİNİLEN BELGELER

- Burnham, A.K., Braun, R.L., Gregg, H.R., 1987, Comparison of methods for measuring kerogen pyrolysis rates and fitting kinetic parameters. Energy Fuels, 1, 452-458.
- Espitalié, J., Madec, M., Tissot, B., 1977, Sourcerock characterization method for petroleumexploration. 9th Annual Offshore Technology Conference, Paper 2935, 439-444.
- İnan, S., Ustaömer, T., Hoğgörmez, H. 2000, Thermal Maturity Evolution of the Coal-Bearing Carboniferous Units in the Amasra Region of the Zonguldak Basin (NW Turkey). Implication for Tertiary Structural Evolution. 1st Turkish International Oil and Gas Congress and Exhibition(TURKIOG), Istanbul, Turkey, 16-18 November 2000, p. 70-74.
- Jarvie, D. M., 1991, Total Organic Carbon (TOC) Analysis. in R.K.Merrill (ed.), Source and Migration Processes and Evaluation Techniques. Treatise of Petroleum Geology, Handbook of Petroleum Geology, AAPG, Tulsa, OK, 113-118.
- Jüntgen, H., Klein, J., 1975, Entstehung von Erdgas aus kohligen Sedimenten. Erdöl und Kohle, Erdgas, Petrochemie, vol.28, pp. 65-73.
- Karayıgit, A.İ., 1989, Zonguldak ve Amasra

- kömürlerinin petrografik özellikleri, Proje No: TBAG 719, TÜBİTAK, Ankara (yayınlanmamış).
- Mann, U., Hertle, M., Horsfield, B., Radke, M., Schenk, H.J., and Yalçın, M.N., 1995,** Petrographical organic-geochemical and petrophysical characterization of Upper carboniferous coals from well K20/G, Zonguldak Basin, NW Turkey, In: M.N. Yalçın and G. Gürdal (Eds.), Zonguldak Basin Research Wells I: Kozlu K20/G. Special publication of TÜBİTAK, Marmara Research Center, p.133-165.
- M.T.A , 1999,** Bartın-Amasra AK-13 ve AK-14 sondajlarının değerlendirilmesi. Maden Tetkik ve Arama Genel Müdürlüğü, Batı Karadeniz Bölge Müdürlüğü, Zonguldak, 12s., (yayınlanmamış).
- Okay, A.I., Şengör, A.M.C., and Görür, N., 1994,** Kinematic history of the opening the Black Sea and its effects on the surrounding regions, Geology, 22, 267-270
- Oktay, F.Y., 1995,** Kozlu K20/G Kuyusunda Kesilen Karbonifer İstifinin Sedimentolojik ve Petrografik Özellikleri. Zonguldak Havzası Araştırma Kuyuları-I: Kozlu-K20/G. M.N. Yalçın ve G. Gürdal (Der.), TÜBİTAK-MAM, Özel Yayımları, s.73-97.
- Orhan, E., 1995,** Zonguldak Taşkömürü Havzası Genel Jeolojisi ve Kozlu-K20/G Sondaj Kuyusu Stratigrafisi. Zonguldak Havzası Araştırma Kuyuları-I: Kozlu-K20/G. M.N. Yalçın ve G. Gürdal (Der.), TÜBİTAK, MAM, Özel Yayımları, s.45-66.
- Özgökçe, S., Yalçın, M. N., 2001,** Source rock characteristics of the Carboniferous shales of the Zonguldak Basin (NW Turkey). 20th International Meeting on Organic Geochemistry, 10-14 September, 2001, Nancy-France, Abstracts Volume 1, 335336.
- Schaefer, R.G., H.J. Schenk, H. Hardelauf, and R. Harms, 1990,** Determination of gross kinetic parameters for petroleum formation from Jurassic source rocks of different maturity levels by means of laboratory experiments, in B. Durand and F. Behar, eds., Advances in Organic Geochemistry 1989: Oxford, Pergamon Press, Organic Geochemistry, v. 16, p. 115-120.
- Schenk, H.J., Horsfield, B., 1993,** Kinetics of petroleum generation by programmed-temperature closed versus open system pyrolysis. Geochim. Cosmochim. Acta 57:623-630.
- Stach, E., M.-Th. Mackowsky, M. Teichmüller, G.H. Taylor, D. Chandra, and R. Teichmüller, 1982,** Stach's Textbook of Coal Petrology: Berlin, Gebrüder Borntraeger, 535 p.
- Senftle, J.T., Landis, C.R., 1991,** Vitrinite reflectance as a tool to assess thermal maturity. in R.K. Merrill (ed.), Source and Migration Processes and Evaluation Techniques. Treatise of Petroleum Geology, Handbook of Petroleum Geology, AAPG, Tulsa, OK, 119-126.
- Tissot, B.P., 1969,** Premières données sur les mécanismes et la cinétique de la formation du pétrole dans les sédiments. Simulation d'un schéma réactionnel sur ordinateur: Rev. Inst. Fr. Pet. v.24, p.470-501.
- Tissot, B.P., Espitalie, J., 1975,** L'évolution thermique du matériau organique des sédiments: Applications d'une simulation mathématique. Rev. Inst. Fr. Pet.v.30, p.743-777.
- Tissot, B.P., Welte, D.H., 1984,** Petroleum formation and occurrence. Springer, Berlin, Heidelberg, New York, 699 pp.
- Tissot, B. P., Pelet, R., Ungerer, P., 1987,** Thermal history of sedimentary basins, maturation indices, and kinetics of oil and gas generation. AAPG Bull., 71, 1445-1466.
- Ungerer, P.H., 1984,** Models of petroleum formation: how to take into account geology and chemical kinetics: Thermal phenomena in sedimentary basins, Durand, B. (ed.), Editions Technip, Paris, p.235-246.
- Yalçın, M.N., 1994,** Zonguldak havzasındaki kömürü birimlerin ana kaya potansiyeli. Türkiye 10. Petrol Kongresi, Bildiriler, Jeoloji, 249-260.
- Yalçın, M.N., 1995,** Organic geochemical characterization of some Carboniferous coal seams of the Zonguldak Basin (NW Turkey). In C. Snape(Ed), Composition, Geochemistry and Conversion of Oil Shales, C. Nato ASI series C: Vol.461-476.
- Yalçın, M.N., İnan, S., Gürdal, G., Mann, U. Schaefer, G., 2002,** The Carboniferous coals of the Zonguldak Basin (NW Turkey) : implication for coalbed methane potential. AAPG Bulletin, 86, 7, 1305 -1328.

Makalenin geliş tarihi: 14.01.2002

Makalenin yayma kabul tarihi: 29.04.2002

Received January 14, 2002

Accepted April 29, 2002